

九州大学 正員 今井 富士夫
 九州大学 正員 太田 俊昭
 九州大学 正員 吉村 虎藏

1. まえがき 本研究は、骨組構造物の動的弾塑性解析理論の一般的確立を目指すもので、まずその基礎的段階として簡単な片持ばかりを対象に選び、その動的弾塑性力学特性の理論的解明と実験照査を試みたものである。

本理論では、すく応力-ひずみ履歴特性を双一次曲線で理想化し、断面分割法により、モーメントと曲率の関係式を求め、次いで ϕ -法公式により力と変形の関係式を導き、線型加速度法を用することによって非線形応答解析を可能ならしめている。なお、実験照査は拘束弾塑性変位を自由端に与えた後、これを解除した場合に生じる非線形応答挙動を調べ、これと理論結果との比較検討により行うものとする。

2. 理論 図-1に示す矩形断面片持ばかりを考え、これを適当に等分割したうえで、集中massの概念を導入すれば、分割節点における加速度 \ddot{y} とそれによる慣性力 P とは D'Alembert の原理により次の式で関係づけられる。

$$P = -m\ddot{y} \quad (m: \text{節点質量}) \quad \dots \dots \dots \quad (1)$$

また、慣性力 P が、はりに荷重として働くものと考えればモーメント M は¹⁾

$$M = -d_P P \quad (d_P: \text{はりの分割数によって定まる係数行列}) \quad \dots \dots \dots \quad (2)$$

一方、たわみ y は、 ϕ -法公式より一般的に次の式で表わされる。

$$y = -a \phi \quad (a: \text{はりの分割数によって定まる係数行列}) \quad \dots \dots \dots \quad (3)$$

次に、曲率 ϕ は、式(2)のモーメントがはりに働くとき、弹性、弾塑性に関わりなく次のようになる。²⁾

$$\phi = \frac{1}{l} M + \phi^p \quad (\frac{1}{l} = I/EI, \phi^p: \text{塑性曲率}) \quad \dots \dots \dots \quad (4)$$

よって、式(1), (2), (3)、および式(4)を y について整理すれば

$$y = -a \frac{1}{l} d_P m \ddot{y} - a \phi^p \quad \dots \dots \dots \quad (5.a)$$

式(5.a)を $\bar{y} = y/y_s, \bar{\ddot{y}} = \ddot{y}/d_s, d_s = w_0^2 y_s$ (d_s : 基準加速度), $\bar{a} = a/l^2, \bar{d}_P = d_P/l, \bar{m} = m/m_0$ (m_0 : 単位質量, l : スパン長), $w_0 = C_0 \sqrt{EI/m_0 l^4}, \bar{\phi}^p = \phi^p/\phi_y, M_p = 1.5 M_y, M_{ps} = \frac{1}{2} m_0 a s l^2$ 、および $M_p/M_p = f_s$ の諸式を用いて無次元化すれば

$$\bar{y} = -C_0^2 \bar{a} \bar{d}_P \bar{m} \bar{\ddot{y}} - C_0^2 / 3 d_s \cdot \bar{a} \bar{\phi}^p \quad (\bar{a} = EI/l^2 = I) \quad \dots \dots \dots \quad (5.b)$$

これが、片持ばかりの弾塑性自由振動方程式である。さて、式(5.b)の微分方程式を解くには、線型加速度法 Runge-Kutta 法などがあるが、ここでは、線型加速度法を用いた。

すなわち、時刻 $i+1$ におけるたわみ y_{i+1} 、たわみ速度 \dot{y}_{i+1} 、およびたわみ加速度 \ddot{y}_{i+1} と時刻 i における $y_i, \dot{y}_i, \ddot{y}_i$ との関係は

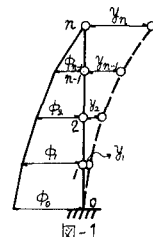
$$\left. \begin{aligned} y_{i+1} &= y_i + \dot{y}_i t_o + \frac{1}{2} \ddot{y}_i t_o^2 + \frac{1}{3} \ddot{y}_i t_o^3 \\ \dot{y}_{i+1} &= \dot{y}_i + \ddot{y}_i t_o + \frac{1}{2} \ddot{y}_i t_o^2 \\ \ddot{y}_{i+1} &= \ddot{y}_i + \ddot{y}_i t_o \end{aligned} \right\} \quad \dots \dots \dots \quad (6)$$

式(6)の \ddot{y}_i を消去し、無次元化して整理すれば次式を得る。

$$\left. \begin{aligned} \bar{y}_{i+1} &= \bar{y}_i + 2\pi k \bar{y}_i + \frac{4}{3} \pi^2 k^2 \bar{y}_i + \frac{4}{8} \pi^3 k^3 \bar{y}_{i+1} \\ \bar{y}_{i+1} &= \bar{y}_i + \pi k \bar{y}_i + \pi k \bar{y}_{i+1} \quad (E=1, k=t_o/T_o; \text{時間々隔}, T_o; \text{-次の固有周期}) \end{aligned} \right\} \quad \dots \dots \dots \quad (7)$$

ここで、時刻 $i+1$ において式(5.b)と式(7)を加速度 \ddot{y}_{i+1} について連立して解けば、次式を得る。

$$\bar{y}_{i+1} = U^{-1} (V_i + W_{i+1}) \quad \dots \dots \dots \quad (8)$$



ここで、 $U = - (C_0^2 \bar{A} \bar{d}_p \bar{m} + \frac{1}{8} \pi^2 k^2)$, $V_i = \bar{y}_i + 2\pi k \bar{y}_i$, $W_{i+1} = C_0^2 / 3f_s \cdot \bar{A} \bar{\Phi}_{i+1}$
式(8)を数値解析すれば、非線型応答解析が可能となるが、式中の unknown factor である $\bar{\Phi}$ は分割断面での
M-中関係より決定できる。その骨子は以下の通りである。すなむち断面での
外力(ここでは純曲げ)と内力とのつり合い式を求れば、図-2より

$$M + \int_A \epsilon_y dA = 0 \quad (\epsilon_y: 应力, Y: 下縁までの距離, A: 断面積) \quad \text{--- (9)}$$

また、上・下縁のひずみを ϵ_u , ϵ_e とすれば、断面高さYのひずみは

$$\epsilon = (1 - Y/h) \epsilon_u + Y/h \cdot \epsilon_e \quad (h: はりの高さ) \quad \text{--- (10)}$$

このとき、曲率中には ϵ_u , ϵ_e を用いて次のように表わされる。

$$\phi = (\epsilon_u - \epsilon_e) / h \quad \text{--- (11)}$$

一方、応力-ひずみの関係式は、2次曲線を仮定すれば、一般に次のように表わされる。²⁾

$$\sigma = \mu^* (\epsilon - \epsilon^*), (\mu^* \epsilon^*: 図-3 に示す各履歴段階における定ま定数) \quad \text{--- (12)}$$

式(9), (10), (11)および式(12)を用いて、M-中関係が一義的に求められるが、詳細は文献(2)を参照のこと。

3. 実験

まず、静的曲げ試験で鋼材(SS41, スパン $l = 50\text{cm}$,巾 $b = 3.8\text{cm}$, 厚さ $h = 0.4\text{cm}$)の静的材料特性を求めて結果、降伏応力とひずみは $\sigma_y = 4142\text{kg/cm}^2$, $\epsilon_y = 1900 \times 10^{-6}$ 、ヤング率 $E = 2.18 \times 10^6\text{kg/cm}^2$ 、ひずみ硬化域での勾配比 $\mu = 0.044$ をえた。次に片持はりの埋め込み近傍に塑性ひずみを生じるまで自由端変位 $Y = 16.50\text{cm}$ を与え、後、自由振動³⁾させ、その挙動を追跡し、図-4の結果を得た。 $T_0 = 0.077\text{sec}$

4. 考察 図-4に示すように静的試験でえた勾配比 $\mu = 0.044$ による解析値は、実験値と比較して定性的にはよく合致するが、定量的にはひずみの関係が複雑である。

これは、ひずみ速度 $\dot{\epsilon}$ が速ければ ($\dot{\epsilon} = 0.1 \sim 0.3/\text{sec}$) 从値を増大せしめる傾向があるためと考えられるので、これは、从値と 0.25 および 0.3 以下場合の解析を別に試めた。

その結果は、それぞれ図-3の1点鎖線および2点鎖線であり、両者は、いずれも定量的に実験値に近い値を示すことが認められた。これより、 $\dot{\epsilon} = 0.1 \sim 0.3/\text{sec}$ の範囲内の非線形挙動を厳密に明らかにするには、その効果のうち塑性効果を考慮しうる解析理論に依ることを望まれ、この点については目下検討中である。なお、ここでは部材分割数を $n = 3$ としており、高次の応答値に多少の誤差が認められるが、これは分割数を増せばある程度解消されるものと考えられる。

5. 結語 本研究は、一貫して逆行法による片持はりの動的弾塑性解析法を示し、かつ簡単な実験を行って理論で用いた仮定の妥当性を検証したもので、応力-ひずみ履歴曲線を2次曲線で近似する場合、从値にひずみ速度の影響³⁾を考慮しなければならないことが判明した。また本理論を拡張応用すれば、より複雑なフーメン構造物の動的弾塑性解析也可能であり、この点については、随時報告する予定である。

参考文献

- (1) T.Ohta; Dynamic Response of Elasto-Plastic Beams for Repeated Loading, 18th National Symposium on Bridge and Structure Engineering 1972
- (2) T.Ohta and T.Yamasaki; Elasto-Plastic Analysis of Steel Structure Considering the Effect of Residual Stress and Finite Deformation, Proc. of JSCE, No.194, 1971
- (3) 国井隆弘; 非線型地震応答の近似計算法に関する基礎的研究, 土木学会論文報告集, 第196号, 1971年12月
- (4) 渡辺啓行; 軍用の動的弾塑性復元力特性, 土木学会論文報告集, 第182号, 1970年10月

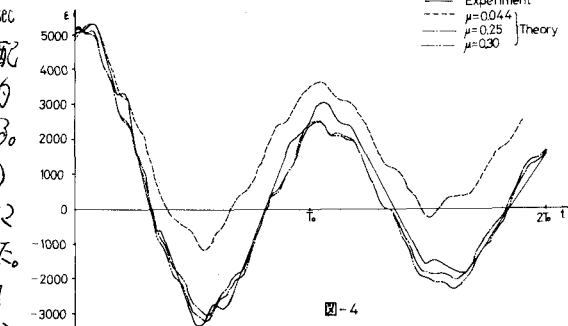
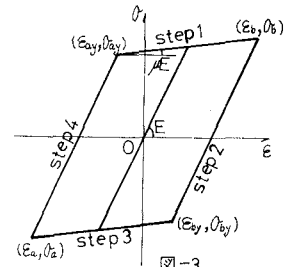
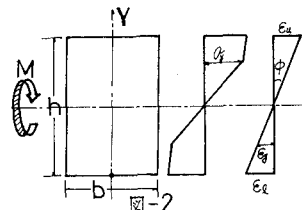


図-4